

# CONTROLE LINEARIZANTE DE UMA PLATAFORMA MÓVEL EMPREGANDO REALIMENTAÇÃO VISUAL

Walter Fetter Lages\*

Elder M. Hemerly\*

Luís Fernando Alves Pereira\*\*

*\*Instituto Tecnológico de Aeronáutica*

*CTA - ITA - IEEE*

*12228-900 - São José dos Campos - SP*

*E-mail: w.fetter@ieee.org*

*\*\*Pontifícia Universidade Católica do Rio Grande do Sul*

*Av. Ipiranga, 6681*

*90610-000 - Porto Alegre - RS*

**Resumo:** Apresenta-se neste artigo uma estratégia para a navegação de um veículo autônomo com restrições não-holonômicas. Em particular, discute-se a implementação de um esquema de controle linearizante por realimentação de estados empregando visão computacional para estimação da posição e orientação do veículo.

**Palavras chave:** veículo autônomo, controle linearizante, visão computacional.

**Abstract:** A method for autonomous vehicles navigation under nonholonomic restrictions is presented. A nonlinear state feedback linearizing control law is designed. Relevant variables, such as vehicle position and orientation, are estimated via computer vision.

**Keywords:** autonomous vehicle, linearizing control, computer vision.

## 1. INTRODUÇÃO

Um problema de relativa complexidade associado à navegação autônoma de veículos relaciona-se diretamente com a determinação precisa das coordenadas espaciais do mesmo. Esforços tem sido dispensados no sentido de desenvolver algoritmos eficazes para estimação de tais coordenadas. Em [1] utiliza-se um modelo do ambiente associado a sensores de ultra-som. Em [2] e [3] empregam-se algoritmos de processamento de imagens para estimativa de posição. Nestes trabalhos, leva-se em consideração apenas o equacionamento cinemático do veículo para geração do sinal de controle.

O modelo dinâmico de um veículo é descrito em detalhes em [4], onde técnicas de linearização por realimentação exata de estados [5] são empregadas para a determinação da lei de controle. Embora tais técnicas sejam comprovadamente efetivas, sabe-se que existe a necessidade da determinação e/ou do conhecimento preciso dos estados do sistema, aspecto não abordado em [4].

Neste trabalho utiliza-se o modelo dinâmico similar ao descrito em [4] para geração do algoritmo de controle linearizante, empregando-se para estimação do vetor de estados técnicas de processamento de imagens e *dead-reckoning* [1] combinadas através de um filtro de Kalman estendido.

## 2. MODELAGEM DA PLATAFORMA

Um esboço da plataforma móvel empregada pode ser visto na Figura 1.

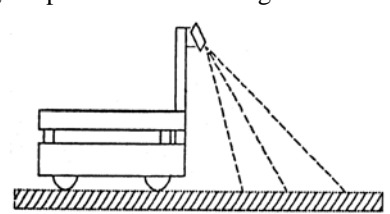


Figura 1: Esboço da plataforma móvel.

A plataforma é movimentada através de um sistema de duas rodas dianteiras operando em modo diferencial. Cada roda possui um *encoder* que permite a medição da sua velocidade. Na traseira da plataforma existe uma terceira roda, que gira livremente. Uma câmera de vídeo é montada na frente da plataforma e pode ser movimentada de modo a focalizar pontos do ambiente interessantes para controle e navegação.

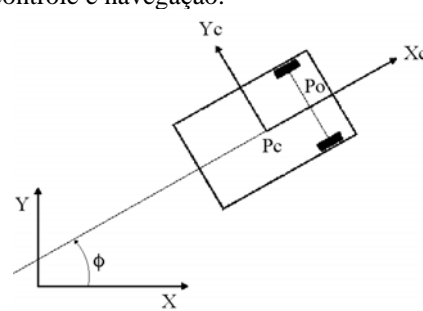


Figura 2: o sistema de coordenadas da plataforma.

Com base no esquema da Figura 2, obtém-se as equações dinâmicas da plataforma, que podem ser representadas na forma [4]

$$M(q)\ddot{q} + V(q, \dot{q}) = W(q)\tau - A^T(q)F \quad (1)$$

sendo

$$q = [x_c \ y_c \ \phi \ \theta_r \ \theta_l]^T \quad (2)$$

$$F = [F_N \ F_r \ F_l]^T, \quad \tau = [\tau_r \ \tau_l]^T \quad (3)$$

$$M = \begin{bmatrix} m & 0 & m_c d \sin \phi & 0 & 0 \\ 0 & m & -m_c d \cos \phi & 0 & 0 \\ m_c d \sin \phi & -m_c d \cos \phi & I & 0 & 0 \\ 0 & 0 & 0 & I_w & 0 \\ 0 & 0 & 0 & 0 & I_w \end{bmatrix} \quad (4)$$

$$V = [m_c d \dot{\phi}^2 \cos \phi \ m_c d \dot{\phi}^2 \sin \phi \ 0 \ 0 \ 0]^T \quad (5)$$

$$W = \begin{bmatrix} 0 & 0 & 0 & 1 & 0 \\ 0 & 0 & 0 & 0 & 1 \end{bmatrix}^T \quad (6)$$

$$A = \begin{bmatrix} -\sin \phi & \cos \phi & d & 0 & 0 \\ -\cos \phi & -\sin \phi & -b & r & 0 \\ -\cos \phi & -\sin \phi & b & 0 & r \end{bmatrix} \quad (7)$$

onde:

$P_o$ : intersecção entre os eixos de simetria e o eixo das rodas;

$P_c$ : centro de massa da plataforma;

$d$ : distância entre  $P_o$  e  $P_c$ ;

$b$ : distância entre as rodas e o eixo de simetria;

$r$ : raio da roda;

$m_c$ : massa da plataforma sem considerar as rodas e os motores;

$m_w$ : massa de cada conjunto roda/motor;

$I$ : momento de inércia gerado por  $m_c$  e  $m_w$  com relação ao eixo vertical, a partir de  $P_o$ ;

$I_w$ : momento de inércia gerado pelo conjunto roda/motor, com relação ao eixo das rodas;

É então possível [4] determinar uma matriz  $S(q)$ , tal que  $A(q)S(q) = 0$  e que a seguinte relação se verifique

$$\dot{q} = S(q)v, \quad v = [\theta_r \ \theta_l]^T \quad (8)$$

Diferenciando temporalmente (8), substituindo a expressão resultante em (1) e pré-multiplicando o resultado por  $S^T$  obtém-se

$$S^T(M\dot{S}v + M\dot{S}v + V) = \tau \quad (9)$$

Definindo-se o vetor de estados

$$x = \begin{bmatrix} q \\ v \end{bmatrix} = [x_c \ y_c \ \phi \ \theta_r \ \theta_l \ \dot{\theta}_r \ \dot{\theta}_l]^T \quad (10)$$

podem-se escrever

$$\dot{x} = \begin{bmatrix} Sv \\ f_2 \end{bmatrix} + \begin{bmatrix} 0 \\ (S^T MS)^{-1} \end{bmatrix} \tau \quad (11)$$

$$\text{com } f_2 = (S^T MS)^{-1}(-S^T M\dot{S}v - S^T V).$$

Tal equação de estados pode ser ainda representada por

$$\dot{x} = \begin{bmatrix} Sv \\ 0 \end{bmatrix} + \begin{bmatrix} 0 \\ I \end{bmatrix} u \quad (12)$$

se for aplicada a seguinte realimentação não-linear

$$\tau = S^T MS(u - f_2) \quad (13)$$

### 3. CONTROLE LINEARIZANTE

Considere, ainda com base em [6], a classe de sistemas não-lineares multivariáveis com o mesmo número de entradas e saídas, da forma

$$\dot{x} = f(x) + g_1(x)u_1 + \dots + g_p(x)u_p \quad (14)$$

$$y_1 = h_1(x) \quad (15)$$

$$y_p = h_p(x)$$

com  $x \in \mathbb{R}^n$ ,  $u \in \mathbb{R}^p$  e  $y \in \mathbb{R}^p$ , assumindo-se  $f$ ,  $g_i$ ,  $h_j$  suaves. Diferenciando com relação ao tempo a saída  $y_j$ , obtém-se

$$\dot{y}_j = L_f h_j(x) + \sum_{i=1}^p (L_{g_i} h_j(x))u_i \quad (16)$$

com  $L_f h_j(x)$  representando a derivada de Lie da saída  $h_j(x)$  com relação à  $f(x)$ , dada por

$$L_f h_j(x) = \sum_{i=1}^n \frac{\partial h_j(x)}{\partial x_i} \dot{x}_{i_f} \quad (17)$$

$$L_{g_i} h_j(x) = \sum_{i=1}^n \frac{\partial h_j(x)}{\partial x_i} \dot{x}_{i_g} \quad (18)$$

onde  $\dot{x}_{i_f}$  e  $\dot{x}_{i_g}$  representam, respectivamente, as partes relativas à  $f(x)$  e  $g(x)$  da  $i$ -ésima equação de estado do processo representado por (14) (15).

De acordo com (16), se cada um dos termos  $L_{g_i} h_j(x) = 0$  nenhuma das entradas não aparecerá na derivada temporal das saídas do processo. Define-se  $\gamma_j$  como sendo o menor inteiro tal que no mínimo uma das entradas apareça em  $y_j^{\gamma_j}$ , i.e.,

$$y_j^{\gamma_j} = L_f^{\gamma_j} h_j(x) + \sum_{i=1}^p L_{g_i} (L_f^{\gamma_j-1} h_j(x))u_i \quad (19)$$

sendo

$$L_f^{\gamma_j} h_j(x) = \sum_{i=1}^n \frac{\partial L_f^{\gamma_j-1} h_j(x)}{\partial x_i} \dot{x}_{i_f} \quad (20)$$

$$L_g L_f^{\gamma_j-1} h_j(x) = \sum_{i=1}^n \frac{\partial L_g L_f^{\gamma_j-2} h_j(x)}{\partial x_i} \dot{x}_g \quad (21)$$

com no mínimo um dos termos  $L_{g_i} (L_f^{g_i-1} h_j(x)) \neq 0$  para todo  $x$  pertencente à região onde a linearização é válida. Definindo a matriz  $E(x)$  como

$$E(x) = \begin{bmatrix} L_{g_1} L_f^{g_1-1} h_1(x) & \cdots & L_{g_p} L_f^{g_p-1} h_1(x) \\ \vdots & \ddots & \vdots \\ L_{g_1} L_f^{g_p-1} h_p(x) & \cdots & L_{g_p} L_f^{g_p-1} h_p(x) \end{bmatrix} \quad (22)$$

uma matriz quadrada de ordem  $p$ , pode-se reescrever a equação (19) na forma

$$\begin{bmatrix} y_1^{g_1} \\ \vdots \\ y_p^{g_p} \end{bmatrix} = \begin{bmatrix} L_{f_1}^{g_1} h_1(x) \\ \vdots \\ L_{f_p}^{g_p} h_p(x) \end{bmatrix} + E(x) \begin{bmatrix} u_1 \\ \vdots \\ u_p \end{bmatrix} \quad (23)$$

Naturalmente, se a matriz inversa de  $E(x)$  existir para todo  $x$  pertencente à região de interesse, a lei de controle por realimentação de estados

$$u(x) = -E^{-1}(x) \begin{bmatrix} L_{f_1}^{g_1} h_1(x) \\ \vdots \\ L_{f_p}^{g_p} h_p(x) \end{bmatrix} + E^{-1}(x) v \quad (24)$$

resulta, em malha fechada, o seguinte sistema,

$$\begin{bmatrix} y_1^{\gamma_1} \\ \vdots \\ y_p^{\gamma_p} \end{bmatrix} = \begin{bmatrix} v_1 \\ \vdots \\ v_p \end{bmatrix} \quad (25)$$

que é linear sob o ponto de vista entrada-saída.

### 3.1. EQUAÇÃO DE SAÍDA DA PLATAFORMA

Conforme [4], elege-se um ponto  $P_r$  da plataforma, *a priori* arbitrário, como sendo o ponto de referência. O veículo deverá ser controlado de forma que o ponto  $P_r$  siga uma trajetória desejada.

Considera-se  $(x_r^c, y_r^c)$  as coordenadas de  $P_r$  descritas com relação ao sistema de eixos  $(X_c, Y_c)$ . Tal ponto pode ser descrito no sistema de coordenadas globais  $(X, Y)$  através das relações

$$x_r = x_c + x_r^c \cos \phi - y_r^c \sin \phi \quad (26)$$

$$y_r = y_c + x_r^c \sin \phi + y_r^c \cos \phi \quad (27)$$

que são as equações de saída do sistema descrito por (12), ou seja

$$y = h(q) = [x_r \quad y_r]^T \quad (28)$$

que derivadas duas vezes pode ser representadas na forma (23) com

$$E(x) = \begin{bmatrix} E_{11}(x) & E_{12}(x) \\ E_{21}(x) & E_{22}(x) \end{bmatrix} \quad (29)$$

onde

$$E_{11}(x) = c((b - y_r^c) \cos \phi + (d - x_r^c) \sin \phi) \quad (30)$$

$$E_{12}(x) = c((b + y_r^c) \cos \phi - (d - x_r^c) \sin \phi) \quad (31)$$

$$E_{21}(x) = c((b - y_r^c) \sin \phi - (d - x_r^c) \cos \phi) \quad (32)$$

$$E_{22}(x) = c((b + y_r^c) \sin \phi + (d - x_r^c) \cos \phi) \quad (33)$$

e

$$\begin{aligned} L_f^2 h_1(x) = & c^2 \dot{\theta}_r^2 (-(b - y_r^c) \sin \phi + (d - x_r^c) \cos \phi) + \\ & + c^2 \dot{\theta}_r \dot{\theta}_1 ((b - y_r^c) \sin \phi - (d - x_r^c) \cos \phi + \\ & - (b + y_r^c) \sin \phi - (d - x_r^c) \cos \phi) + \\ & + c^2 \dot{\theta}_1^2 ((b + y_r^c) \sin \phi + (d - x_r^c) \cos \phi) \end{aligned} \quad (34)$$

$$\begin{aligned} L_f^2 h_2(x) = & c^2 \dot{\theta}_r^2 ((b - y_r^c) \cos \phi + (d - x_r^c) \sin \phi) + \\ & + c^2 \dot{\theta}_r \dot{\theta}_1 (-(b - y_r^c) \cos \phi - (d - x_r^c) \sin \phi + \\ & + (b + y_r^c) \cos \phi - (d - x_r^c) \sin \phi) + \\ & + c^2 \dot{\theta}_1^2 (-(b + y_r^c) \cos \phi + (d - x_r^c) \sin \phi) \end{aligned} \quad (35)$$

sendo  $c=r/(2b)$ , faltando determinar, na lei de controle (24), apenas o vetor de entradas equivalentes  $v = [v_1 \ v_2]^T$ .

## 4. ESTIMAÇÃO DE ESTADOS

A estratégia de controle apresentada na seção 3 assume que os estados em (12) são completamente acessíveis. Embora esta seja uma hipótese comum na literatura [7][8][9], apresenta algumas limitações. Estas limitações estão em geral relacionadas com o fato de não ser possível medir diretamente alguns componentes do vetor de estados. Os estados que não podem ser diretamente medidos são reconstruídos e/ou estimados através dos componentes aos quais se tem acesso.

### 4.1. DEAD-RECKONING

Assumindo-se que o veículo percorre uma trajetória circular obtém-se [2]

$$\begin{aligned} x_c(k+1) = & x_c(k) + \Delta s(k) \cos \left( \phi(k) + \frac{\Delta \phi(k)}{2} \right) \\ & + \Delta d \phi(k) \sin \left( \phi(k) + \frac{\Delta \phi(k)}{2} \right) \end{aligned} \quad (36)$$

$$y_c(k+1) = y_c(k) + \Delta s(k) \sin \left( \phi(k) + \frac{\Delta \phi(k)}{2} \right) \quad (37)$$

$$\begin{aligned} & - \Delta d \phi(k) \cos \left( \phi(k) + \frac{\Delta \phi(k)}{2} \right) \\ \phi(k+1) = & \phi(k) + \Delta \phi(k) \end{aligned} \quad (38)$$

com

$$\Delta s(k) = \Delta D(k) \frac{\sin \left( \frac{\Delta \phi(k)}{2} \right)}{\frac{\Delta \phi(k)}{2}} \quad (39)$$

$$\Delta D(k) = \frac{\Delta D_r(k) + \Delta D_l(k)}{2} \quad (40)$$

$$\Delta \phi(k) = \frac{\Delta D_r(k) - \Delta D_l(k)}{2b} \quad (41)$$

onde  $\Delta D_r(k)$  e  $\Delta D_l(k)$  representam, respectivamente, os deslocamentos lineares das rodas direita e esquerda da plataforma entre o instante de tempo  $k$  e o instante de tempo  $k+1$  e são dados por

$$\Delta D_r(k) = 2\pi r \frac{NP_r(k)}{\Pi} \quad (42)$$

$$\Delta D_l(k) = 2\pi r \frac{NP_l(k)}{\Pi} \quad (43)$$

sendo  $\Pi$  o número de pulsos por revolução dos *encoders* das rodas e  $NP_r(k)$  e  $NP_l(k)$  os números de pulsos detectados no intervalo de tempo de  $k$  à  $k+1$ .

Lembrando que

$$\theta_r(k+1) = \theta_r(k) + \Delta \theta_r(k) \quad (44)$$

$$\theta_l(k+1) = \theta_l(k) + \Delta \theta_l(k) \quad (45)$$

é possível, utilizando as expressões (36)-(45), recompor o estado do sistema definido por (10).

No entanto, as expressões (36), (37) e (38) são exatas apenas se a trajetória do veículo for circular ou reta. Existem também erros de modelagem, pois os raios das rodas e a distância entre elas não são conhecidos com absoluta exatidão, o solo não é perfeitamente plano, o escorregamento das rodas não é zero, etc.

#### 4.2. VISÃO COMPUTACIONAL

A estimação de posição do veículo através de visão computacional consiste em obter-se uma ou mais imagens que contenham pontos conhecidos (posição e orientação conhecidas) do ambiente.

O sistema de processamento de imagens utilizado neste trabalho é baseado em *landmarks* como os apresentados na Figura 3, que são fixados nas paredes do ambiente de trabalho da plataforma. A escolha deste tipo de *landmark* foi motivada por [3].



Figura 3: *Landmark* utilizado pelo sistema de visão.

Ao serem vistos em perspectiva pela plataforma, estes *landmarks* sofrem distorções nos eixos vertical e horizontal. Como os *landmarks* são fixados à altura da câmera, a distorção no eixo vertical é devida apenas à distância da câmera ao *landmark*, enquanto a distorção no eixo horizontal é se dá devido à distância e à orientação da câmera com relação ao *landmark*. No caso geral, o *landmark* aparecerá na imagem como uma elipse. A

posição e os eixos desta elipse são detectados na imagem através da transformada de Hough generalizada [10].

A posição e a orientação do *landmark* em relação à câmera obtidas através transformação de perspectiva são dadas por

$$Z = \lambda \left( 1 + \frac{r_l}{a_y} \right) \quad \text{e} \quad \Theta = \pm a \cos \left( \frac{a_x}{a_y} \right) \quad (46)$$

onde  $Z$  é distância da câmera ao *landmark*,  $\lambda$  é a distância focal da câmera,  $r_l$  é raio do *landmark*,  $a_x$  e  $a_y$  são respectivamente os semi-eixos horizontal e vertical da elipse e  $\Theta$  é a orientação entre a câmera e o *landmark*.

A matriz de transformação homogênea entre o sistema de coordenadas global e o sistema de coordenadas centrado em  $x_c$  e  $y_c$  (Fig. 2) será dada por

$${}^gT_c = {}^gT_l \cdot {}^lT_v \cdot {}^vT_c \quad (47)$$

onde  ${}^gT_l$  é a matriz de transformação homogênea entre o sistema de coordenadas localizado no centro do *landmark* e o sistema de coordenadas global,  ${}^lT_v$  é a matriz de transformação homogênea entre a câmera e o *landmark* e  ${}^vT_c$  é a matriz de transformação homogênea entre sistema de coordenadas centrado em  $x_c$  e  $y_c$  e a câmera.

Como  ${}^gT_c$  é constante pois depende somente da posição do *landmark* sendo observado, e  ${}^vT_c$  depende apenas da geometria da plataforma e  ${}^lT_v = ({}^vT_l)^{-1}$  tem-se que

$${}^gT_c = {}^gT_l \cdot ({}^vT_l)^{-1} \cdot {}^vT_c \quad (48)$$

Por outro lado, da Figura 2 pode-se facilmente obter

$${}^gT_c = \begin{bmatrix} \cos \phi & -\sin \phi & 0 & x_c \\ \sin \phi & \cos \phi & 0 & y_c \\ 0 & 0 & 0 & d_l \\ 0 & 0 & 0 & 1 \end{bmatrix} \quad (49)$$

onde  $d_l$  é a altura do ponto  $x_c, y_c$ . Portanto, tem-se

$$x_c = ({}^gT_c)_{14} \quad y_c = ({}^gT_c)_{24} \quad (50)$$

$$\phi = a \tan 2 \left( ({}^gT_c)_{11}, ({}^gT_c)_{21} \right) \quad (51)$$

É importante observar que, devido à ambigüidade do sinal de  $\Theta$  em (46), serão obtidos dois conjuntos de valores  $x_c, y_c$  e  $\phi$  para um mesmo *landmark*. Esta ambigüidade pode ser removida observando-se dois ou mais *landmarks*, veja-se [2][3] para maiores detalhes.

### 4.3. FUSÃO DAS ESTIMATIVAS

Como os dois sistemas para estimação de posição são independentes e possuem características diferentes, parece razoável supor-se que a fusão dos dados obtidos pelos dois sistemas produzirá uma estimativa de melhor qualidade. Esta fusão de dados pode ser feita utilizando-se o filtro de Kalman estendido. Definindo-se

$$U(k) = \begin{bmatrix} \Delta D_r(k) \\ \Delta D_l(k) \end{bmatrix} \quad \text{e} \quad X(k) = \begin{bmatrix} x_c(k) \\ y_c(k) \\ \phi(k) \end{bmatrix} \quad (52)$$

pode-se escrever (36) - (38) na forma

$$X(k+1) = f(X(k), U(k) + \omega(k)) \quad (53)$$

onde  $\omega(k)$  representa perturbações como escorregamento das rodas, incertezas nos parâmetros do modelo e erros nos *encoders*.

A saída do sistema de processamento de imagens, dada pelas expressões (50) (51), é o vetor

$$y(k) = \begin{bmatrix} x_c \\ y_c \\ \phi \end{bmatrix} + v(k), \quad v(k) = \begin{bmatrix} \text{erro}_{x_c} \\ \text{erro}_{y_c} \\ \text{erro}_{\phi} \end{bmatrix} \quad (54)$$

considerado como um processo de observação de (53) que contém um erro de medida.

Fazendo-se as suposições usuais, o filtro de Kalman estendido pode ser utilizado para combinar as estimativas de posição obtidas pelos sistemas de *dead-reckoning* e processamento de imagens.

Expandindo-se  $f(\cdot)$  em (53) em série de Taylor em torno do ponto  $(\hat{X}(k), U(k))$  onde  $\hat{X}(k)$  é a estimativa de  $X(k)$  no instante  $k$  e desprezando os termos de ordem superior, resulta

$$f(X(k), U(k) + \omega(k)) = f(\hat{X}(k), U(k)) + F_k (X(k) - \hat{X}(k)) + G_k \omega(k) \quad (54)$$

onde

$$F_k = \left. \frac{\partial f(X(k), U(k))}{\partial X(k)} \right|_{X(k)=\hat{X}(k)} \quad (55)$$

$$G_k = \left. \frac{\partial f(X(k), U(k))}{\partial U(k)} \right|_{X(k)=\hat{X}(k)} \quad (56)$$

substituindo-se (56) e (57) em (53)

$$X(k+1) = F_k X(k) + G_k \omega(k) + f(\hat{X}(k), U(k)) - F_k \hat{X}(k) \quad (57)$$

que juntamente com (54) forma um sistema linear variante no tempo com entrada  $f(\hat{X}(k), U(k)) - F_k \hat{X}(k)$ , que pode ser perfeitamente determinada no instante  $k$  e portanto é uma entrada

determinística. Portanto pode-se utilizar o seguinte algoritmo para o filtro de Kalman estendido [11]

$$K(k) = (F_k P(k) F_k^T) (P(k) + R)^{-1} \quad (58)$$

$$\hat{X}(k+1) = f(\hat{X}(k), U(k)) + K(k) (y(k+1) - \hat{X}(k)) \quad (59)$$

$$P(k+1) = F_k P(k) F_k^T + G_k Q G_k^T - K(k) (P(k) + R) K(k)^T \quad (60)$$

com condições iniciais  $P(0)$  e  $\hat{X}(0)$ .

### 5. RESULTADOS DE SIMULAÇÃO

Para exemplificar a efetividade do método proposto analisa-se a trajetória do veículo empregando três técnicas distintas para obtenção dos estados. Em todas estas técnicas considera-se como vetor de entradas equivalentes

$$v = \begin{bmatrix} v_1 \\ v_2 \end{bmatrix} = \begin{bmatrix} \ddot{y}_{m_1} + \alpha_1 (\dot{y}_{m_1} - \dot{x}_r) + \alpha_2 (y_{m_1} - x_r) \\ \ddot{y}_{m_2} + \alpha_3 (\dot{y}_{m_2} - \dot{y}_r) + \alpha_4 (y_{m_2} - y_r) \end{bmatrix} \quad (61)$$

onde  $y_{m_1}$  e  $y_{m_2}$  são as saídas dos modelos de referência associados a cada componente de (28), descritos pelas seguintes funções de transferência

$$G_{m_1}(s) = \frac{\alpha_1}{s^2 + \alpha_2 s + \alpha_1} \quad (62)$$

$$G_{m_2}(s) = \frac{\alpha_3}{s^2 + \alpha_4 s + \alpha_3} \quad (63)$$

com  $\alpha_1 = \alpha_2 = 49$  e  $\alpha_3 = \alpha_4 = 9.8$ .

Na Figura 4 apresenta-se o comportamento da plataforma supondo o acesso completo aos estados com  $x_r(0)=0.0m$  e  $y_r(0)=0.5m$ .

Na Figura 5 apresenta-se a trajetória realizada pela plataforma com realimentação supondo acesso completo aos estados e a trajetória estimada por *dead-reckoning*.

Observa-se que a trajetória obtida por *dead reckoning* coincide com a trajetória realizada apenas nos instantes iniciais. Este comportamento deve-se ao efeito integral intrínseco à esta técnica, o que inviabiliza por completo a realimentação dos estados obtidos por *dead reckoning* na estratégia de controle linearizante.

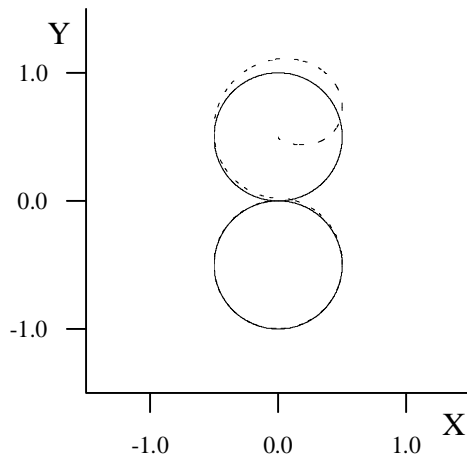


Figura 4: Trajetória de referência (sólida) e trajetória realizada pela plataforma com acesso completo aos estados (pontilhada).

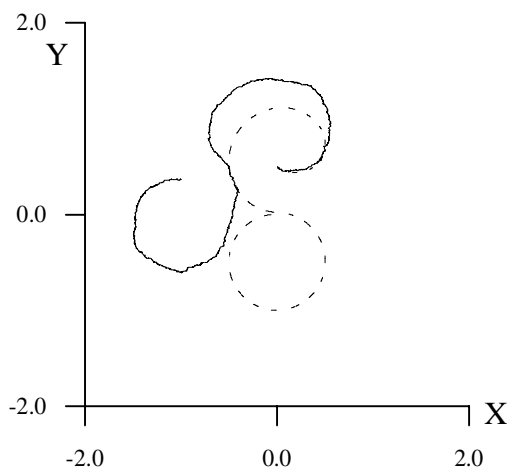


Figura 5: Trajetória com acesso completo aos estados (pontilhada) e trajetória estimada por *dead-reckoning* (sólida).

A Figura 6 mostra a trajetória descrita pela plataforma empregando-se, na recomposição dos estados, dados obtidos por processamento de imagens e *dead-reckoning*, fundidos através do filtro de Kalman estendido.

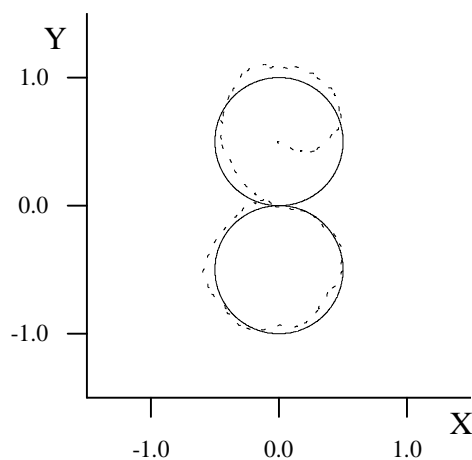


Figura 6: Trajetória de referência (sólida) e trajetória estimada por fusão de dados via filtro de Kalman estendido (pontilhada).

## 6. CONCLUSÕES

Foi apresentado neste artigo uma estratégia para navegação de veículos autônomos empregando o equacionamento dinâmico e cinemático do veículo, utilizado para determinação de uma estratégia de controle linearizante por realimentação de estados. O problema da reconstrução dos estados necessários para o cálculo do sinal de controle é detalhadamente abordado. A estimação dos estados é realizada através da fusão via filtro de Kalman estendido de dados obtidos por processamento de imagens e *dead-reckoning*.

## 7. REFERÊNCIAS BIBLIOGRÁFICAS

- [1] HOLLESTEIN, A. A., *Aufdatierung der Position und der Orientierung eines mobilen Roboters*. Zürich, 1992, ETH Doktor Abhandlung.
- [2] MURATA, S.; HIROSE, T., On Board Locating System Using Real-Time Image Processing for a Self-Navigating Vehicle, *IEEE Trans. on Industrial Electronics*, v. 40, n. 1, 1993.
- [3] BYLER, E.; WENDELL, C.; HOFF, W.; LAYNE, D., Autonomous Hazardous Waste Drum Inspection Vehicle, *IEEE Robotics & Automation Magazine*, v. 2, n. 1, p. 6-17, 1995.
- [4] YAMAMOTO, Y.; YUN, X., Coordinating Locomotion and Manipulation of a Mobile Manipulator, *IEEE Trans. on Automatic Control*, v. 39, n. 6, 1994.
- [5] ISIDORI, A. *Nonlinear Control Systems - An Introduction*, Berlin, Springer-Verlag, 1989.
- [6] SASTRY, S.; ISIDORI, A., Adaptive Control of Linearizable Systems, *IEEE Trans. on Automatic Control*, v. 34, n. 11, 1989.
- [7] AICARDI, M.; CASALINO, G.; BICCHI, A.; BALESTRINO, A., Loop Steering of Unicycle-like Vehicles via Lyapunov Techniques, *IEEE Robotics & Automation Magazine*, v. 2, n. 1, 1995.
- [8] BLOCH, A.; REYHANOGLU, M.; McCLAMROCH, N., Control and Stabilization of Nonholonomic Dynamic Systems, *IEEE Trans. on Automatic Control*, v. 37, n. 11, 1992.
- [9] CANUDAS de WIT, C.; SØRDALEN, O. J., Exponential Stabilization of Mobile Robots with Nonholonomic Constraints, *IEEE Trans. on Automatic Control*, v. 37, n. 11, 1992.
- [10] BALLARD, D. H., Generalizing the Hough Transform to Detect Arbitrary Shapes, *Pattern Recognition*, v. 13, p. 111-122, 1981.
- [11] GOODWIN, G.; SIN, K. *Adaptive Filtering Prediction and Control*, Englewood Cliffs, Prentice-Hall, 1984.